

Karbon Nanotüp Takviyeli Aluminyum Matriksli AlMg/KNT Kompozitlerinin Mekanik Davranışlarının İncelenmesi

İsmail Topcu*

Marmara Üniversitesi, Mühendislik Fakültesi, Metalurji&Malzeme Mühendisliği Bölümü

30.11.2017 Geliş/Received, 07.05.2018 Kabul/Accepted

Özet

Bu çalışmada, toz metallürjisi tekniği kullanılarak AlMg matriksine ağırlıkça farklı oranlar da (%2,5-%10) KNT takviyesi ile AlMg/KNT nano kompozit malzemeleri üretilmiştir. Helezonik Trubula karıştırma cihazında altı saat ve 400 Rpm de karıştırma işlemi yapılmıştır. Mekanik karıştırmanın ardından sırası ile toz karakterizasyonu, optik incelemeler, sertlik ve yoğunluk testleri yapılmıştır. XRD analizlerine dayanarak hassasiyetle 200 Mpa basınç altında metal kalıpta numuneler üretilmiştir. Üretilen AlMg/KNT kompozit numuneleri yüksek vakum altında farklı (350°C , 400°C , 450°C) sıcaklıklar da 120 dakika boyunca sinterlenerek üretilen numunelerin sertlik, yoğunluk ve metalografik incelemeleri yapılmıştır. Aynı atmosferde, farklı sıcaklık ve farklı KNT oranları ile üretilmiş olan AlMg/KNT kompozit numunelerinin XRD analizlerine ait pik şiddetlerinde artan KNT oranları ile birlikte $42,6^{\circ}$ de gözle görülür artış olup aynı şekilde artan KNT oranı ile sinterleme sıcaklıklarına bağlı olarak sertlik değerlerinde iyileşme ve yoğunluk düşüşü gözlemlenmiştir.

Anahtar Kelimeler: sinterleme, karbon nanotüpler, toz metallürjisi, mekanik özellikler

Investigation of Mechanical Behavior of Carbon Nanotubes Reinforced Aluminum Matrix AlMg / CNT Composites

Abstract

In this study, AlMg / KNT nanocomposite materials were produced by using powder metallurgy technique with different ratios (2.5% -10%) of KNT reinforced to AlMg matrix. Mixing was carried out for 6 hours and 400 rpm in the spiral stirrer. After mechanical mixing, powder characterization, optical examinations, hardness and density tests were carried out. Based on XRD analyzes, samples of metal mold were produced with a precision of 200 MPa. Composite samples of AlMg / KNT produced were sintered at different temperatures (350°C , 400°C , 450°C) for 120 minutes under high vacuum, and hardness, density and metallographic investigations of the samples were made. In the same atmosphere, the peak intensity of XRD analyzes of AlMg / KNT composite specimens produced at different

*Sorumlu Yazar (Corresponding Author): İsmail Topcu

(e-posta: itopcu@alanya.edu.tr)

Bu çalışma Marmara Üniversitesi, BAP Koordinasyon Biriminince desteklenmiştir. Proje numarası: FEN-K-070317-0107

temperatures and different CNT ratios showed a noticeable increase at 42.6° C with increasing CNT ratios, and with the same increase in CNT ratios, the hardness values improved and density.

Keywords: sintering, carbon nanotubes, powder metallurgy, mechanical behavior

1. Giriş

Toz metalürjisi (T/M), ince tozlu malzemelerin harmanlanması, preslenmesi daha sonra sıkıştırılmış malzemenin kontrollü bir ortamda ısıtılması (sinterleme) işlemidir. Toz metalürjisi dört temel aşamadan oluşur: toz üretimi, toz karışımı, sıkıştırma ve sinterlemedir (Koczak ve Premkumar, 1989). Tozların en önemli özelliği, yüzey alanının hacimce oranının yüksek olması sonucunda kalıplama için gereken basınç da yüksek olmalıdır. Bunu elemine etmek için genellikle bir bağlayıcı eklenir ve bu şekilde çoğu toz kolayca şekillendirilir (German, 2005).

Toz numune imalatında karıştırma işleminden sonra sırası ile kalıplama (sıkıştırma) ve sinterleme aşamaları vardır. Daha yumuşak tozlar neredeyse tam yoğunluğa ulaşacak şekilde preslenebilir ancak sert tozlarda durum farklıdır ve uygulanan baskiya direnirler (Turan, 2003).

Toz teknolojileri mühendisler için proaktiftir, sadece kalıplama özellikleri nedeniyle değil, farklı tasarım seçeneklerinden dolayı farklı ürünlere uyarlanması için de elverişlidir. Genelde T/M, döküm yöntemi gibi net şekillendirme oluşturmak için birçok avantaja sahiptir ve hemen hemen tüm malzemelere uygulanabilir (Kwon ve ark., 2010; Sattler, 1994). Alüminyum, metal matris kompozitleri (AMMK) için en önemli matris malzemesidir. Al alaşımıları, düşük yoğunlukları, takviye ile güçlendirilebilme özellikleri, iyi korozyon direnci, yüksek termal ve elektrik iletkenliği ve yüksek sönümleme kapasitesi nedeniyle oldukça caziptir. Alüminyum matris kompozitler 1920'lerden beri detaylı bir şekilde incelenmiştir (Ren ve ark., 1999; Nikolaev ve ark., 1996).

Magnezyum ve alaşımıları, düşük yoğunlukları, iyi mekanik özellikleri, düşük maliyeti ve metalik karakteri nedeniyle mükemmel bir alternatif olabilir. Yapılan araştırmalar sonucunda, havacılık uygulamaları için plastik ve fiber takviyeli plastiklerle rekabeti kazanacak yeni bir metalik malzemeler sınıfını teşvik edecektir (Yoshida ve ark., 2003).

Karbon Nanotüp, karbondan yapılmış, nanometre ölçüünde bir çapa sahip olan boru şekilli bir malzemedir. Karbon Nanotüler, uzunluk, kalınlık ve katman sayıları bakımından Tek duvarlı Nanotüpleri (SWNT), Çok duvarlı Nanotüpler (MWNT), Çift duvarlı Nanotüpler (DWNT) olarak sınıflandırılırlar (Ferkel ve Mordike, 2001).

Karbon Nanotüpleri (KNT'ler), benzersiz atom yapısı ve büyüleyici özellikleri nedeniyle araştırılması için büyük merak ve ilgi gösterildi. Elde edilen teorik ve deneyel sonuçlar bugüne kadar KNT'lerin dünyada şimdije kadar keşfedilen en eşsiz ve çok yönlü materyal olduğunu gösteriyor (Estrada ve ark., 2010). İstisnai mekanik özelliklerinin yanı sıra, KNT'ler son derece yüksek en/boy oranı, mükemmel kimyasal kararlılık, üstün termal ve elektriksel özelliklere sahiptir (Agnew ve ark., 2004).

Çoğu araştırmacı, metallerin, polimerlerinin ve seramik matris fazları kullanarak ileri KNT esaslı kompozitler geliştirmeye çalışıyor; bunların arasında Al ve Mg bir metal matris olarak yoğun ilgi görüyor (Kim ve ark., 2002); Hong ve ark., 2003). Magnezyumun en hafif yapısal

metal olması ile birlikte Karbon Nanotüp (KNT) malzemenin de olağan dışı mekanik özelliklere sahip hafif takviye malzemesi olması çalışmalar için avantaj göstermektedir. Birlikte, mükemmel metal matrisli kompozitler yapma potansiyeline sahiptirler (Yoshida ve ark., 2005; Fauchais ve ark., 1996).

MMK'ler geleneksel imalat teknikleri kullanılarak üretilir ve kompozit yapısının ve özelliklerinin optimizasyonu için birçok imalat tekniği geliştirilmiştir (Fauchais ve ark., 1996). MMK'lerin en önemli parametresi, matris ve takviye malzemesi arasındaki uyumluluktur. İslatılabilirliği artırmak için, matris ile takviye arasındaki ara yüzey bağı, matris alaşımı olmalıdır. Araştırmalar, ıslanabilirlik, maliyet ve yoğunluk dikkate alındığında alüminyum ve alüminyum alaşımının en iyi matris malzemeleri olduğunu göstermektedir (Yakobson ve ark., 1996).

Bu çalışmanın amacı, daha önce yapılmış olan çalışmalara ilave olarak AlMg alaşımına çok duvarlı KNT takviye ederek sertlik (çok daha hafif malzeme üretip malzemenin mekanik özelliklerini iyileştirmek) yoğunluk ve metalografik özelliklerini incelemektir.

2. Malzeme ve Yöntem

2.1. Malzeme

Bu çalışmada alüminyum magnezyum (AlMg) ve çok duvarlı karbon nanotüp tozları kullanılmıştır. Takviye olarak ağırlıkça %2,5-%10 arasında KNT tozları kullanılmıştır. Ana matriks malzemesi olarak Alfa Aesar, Johnson Matthey GmbH & Co. KG firması tarafından 10 μm nominal boyuta sahip atomize edilmiş (yoğunluk $2,683 \text{ g / cm}^3$) AlMg alaşımı tozlar kullanıldı. Takviye malzemesi olarak yine, Karbon Nanotüp (KNT) Alfa Aesar, Johnson Matthey GmbH & Co. KG firmasının üretmiş olduğu 10 nm çap ve 10-30 nm uzunluklarında (yoğunluk $2,41 \text{ g / cm}^3$) parçacıklar kullanıldı.

2.2. KNT Takviyeli Almg Matris Kompozitlerin İmalatı

Kompozitlerin üretimi AlMg tozlarına sırasıyla % 2.5, %5 ve % 10 ağırlıkça KNT ilavesiyle Turubula karıştırma cihazında altı saat boyunca karıştırdı. Mekanik karıştırmanın iyi olabilmesi için taranan literatür ışığında süre optimize edilerek altı saat karıştırdı. Mekanik karıştırma prosesin de 10 mm çapındaki paslanmaz bilye kullanıldı. Toz ve karıştırıcı bilye ağırlık oranı 3:1 ve mil devri 400 rpm olarak belirlendi. Söz konusu süreç bütün farklı toz alaşımı için tekrarlandı. Farklı kompozisyonlarda üretilen tozlar daha sonra 200 MPa altında tek eksenli press ile numune imalatı gerçekleştirildi. Üretilmiş olan farklı kompozisyonlardaki 9 adet (1.Grup, 2.Grup ve 3.Grup) numune yatay tüp fırında yüksek vakum ($1.2 \cdot 10^{-2}$ bar) ortamında üç farklı sıcaklıkta (350°C , 400°C , 450°C) 2 saat süreyle sinterlendi. Elde edilen numuneler farklı sinterleme sıcaklıklarında sırası ile 1.Grup (1.1, 1.2, 1.3) % 2.5 KNT, 2.Grup (2.1, 2.2, 2.3) % 5 KNT ve 3. Grup (3.1, 3.2, 3.3) % 10 KNT içerikli numunelerdir (Topcu ve ark., 2009).

2.2.1. Yoğunluk ve Mikrosertlik Deneyleri

Üretilen kompozit numuneler sırası ile numaralandırılarak Arşimet yöntemi ile (önce havadaki ağırlıkları ardından sudaki ağırlıkları ölçmek suretiyle) yoğunlukları hesaplanmıştır. Yoğunlukları hesaplanan kompozit numuneler uzunlamasına kesitlerinden sıcak kalıplama ile bakalite alınarak metalografik numuneler hazırlanmıştır. Bakalite alınarak

hazırlanan bütün numuneler sırasıyla 400, 600, 800 ve 1000 tane boyutlu SiC zımpara kağıtları ile özenle zımparalandıktan sonra Al_2O_3 pasta kullanılarak çuha ile parlatılmıştır. Bakalite alınarak parlatılmış olan bu numuneler sertlik ölçüm testleri için Future Tech. FM-7000 mikro sertlik ölçüm cihazında test edilmiştir. Üretilen kompozitlerin sertliği Vickers 136°'lık elmas uç ile 100 gr ağırlık kullanılarak HV (0.1) Vickers yöntemi ile yapıldı. Her örnek için test yükü 100 g ve bekleme süresi 15 saniye idi. Sertlik ölçme testinde her numune üzerinde yaklaşık olarak beş adet ardışık ölçüm yapılmış olup nihai olarak elde edilmiş olan beş değerin ortalaması sertlik değeri olarak kabul edilmiştir. Kullanılan yöntem hem takviye malzemeleri hem de ana matriks malzemelerini etkilediği için (sinterleme sonucunda matris içerisinde KNT takviyesi ile yeni karbür fazları oluştuğu için) elde edilen sertlik değeri kompozitin genel sertlik değerini vermektedir.

2.2.1.XRD Analizi

X-ışını kırınım analizi, bir maddenin yapısının, incelenen cisim tarafından dağıtık X-ışınınının uzamsal dağılımını ve yoğunluklarını kullanan yöntemlerle araştırılmasıdır. Nötron kırınımı ve elektron kırınımı analizinde olduğu gibi, X-ışını kırınım analizi de kırınım yöntemiyle yapıyı inceler. X-ışını bir maddenin elektronlarıyla etkileşime girdiğinde, X ışınları kırılır. Kirılma şekli, kullanılan X ışınlarının dalga boyuna ve nesnenin yapısına bağlıdır. Kullanmış olduğumuz Rigaku XRD Spektrometre cihazında 10-90° arasında 20 hassasiyetle taranarak XRD sonuçları elde edilmiştir.

3. Bulgular

Deneysel çalışmalarında toz metalürjisi yöntemi ile AlMg tozuna farklı oranlarda takviye edilerek farklı sinterleme sıcaklıklarında üretilmiş olan AlMg/KNT kompozit numunelerinin deneysel çalışma sonuçları aşama aşama bu bölümde incelenmiştir.

T/M yöntemi ile farklı % KNT oranları ile üretilmiş olan AlMg/KNT kompozit numunelerinin teorik yoğunlukları ve farklı sinterleme sıcaklıklarında üretilen her numunenin gerçek yoğunluk değerleri eşitlik 1 ile hesaplanarak Çizelge 3.1 de verilmiştir (Topcu ve ark., 2009).

$$\frac{1}{(\rho \cdot c)} = \omega \cdot f / \rho \cdot f + \omega \cdot m / \rho \cdot m \quad (1)$$

Burada,

m: matrisin yoğunluğu.

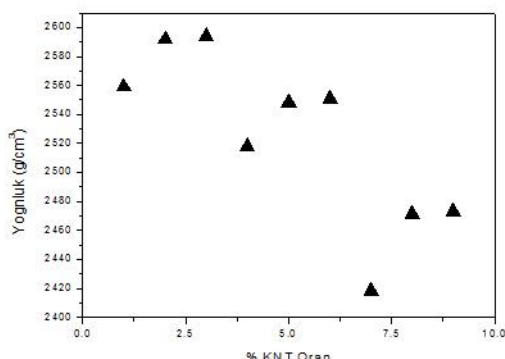
f: elyaf yoğunluğu

c: kompozitin yoğunluğuna atıfta bulunur.

Çizelge 3.1. AlMg/KNT kompozit numunelerine ait yoğunluk değerleri

Numune Grupları	Sıcaklık $^{\circ}\text{C}$	Teorik Yoğunluk (g/cm^3)	Gerçek yoğunluk (g/cm^3)
%2.5 KNT	1Grp1	350 $^{\circ}\text{C}$	28
	1Grp2	400 $^{\circ}\text{C}$	47
	1Grp3	450 $^{\circ}\text{C}$	29
%5 KNT	2Grp1	350 $^{\circ}\text{C}$	38
	2Grp2	400 $^{\circ}\text{C}$	38
	2Grp3	450 $^{\circ}\text{C}$	40
%10 KNT	3Grp1	350 $^{\circ}\text{C}$	25
	3Grp2	400 $^{\circ}\text{C}$	32
	3Grp3	450 $^{\circ}\text{C}$	29

Mekanik karıştırma sonucu üretilmiş olan AlMg/KNT kompozitlerinin teorik yoğunlukları eşitlik (1)'ile hesaplanmıştır. Yapılan hesaplama ile artan ağırlıkça % KNT oranı ile kompozitin yoğunluğu düşmüştür. KNT'nin yoğunluğu matris malzemesinin yoğunluğundan düşük olduğu için yoğunluk değerlerinin bu şekilde çıkması bir bekletidir. Buna karşılık artan sinterleme sıcaklıklarını ile ham şekilde üretilmiş kompozit numunelerin takviye oranlarına bağlı olarak malzeme içerisinde bulunan poroziteler sıcaklığın etkisi ile oluşan yeni fazlar ve difüzyona bağlı olarak yapı içerisindeki yer alan boşlukların azalması sonucu yoğunluk değerleri artmıştır (Topcu ve ark., 2009). T/M ile üretilmiş olan kompozitlerin gerçek yoğunluk değerleri de Şekil 3.1'de gösterilmiştir.



Şekil 3.1. Farklı sıcaklıklarda sinterlenen AlMg/KNT kompozit numunelerin yoğunluk değişimleri

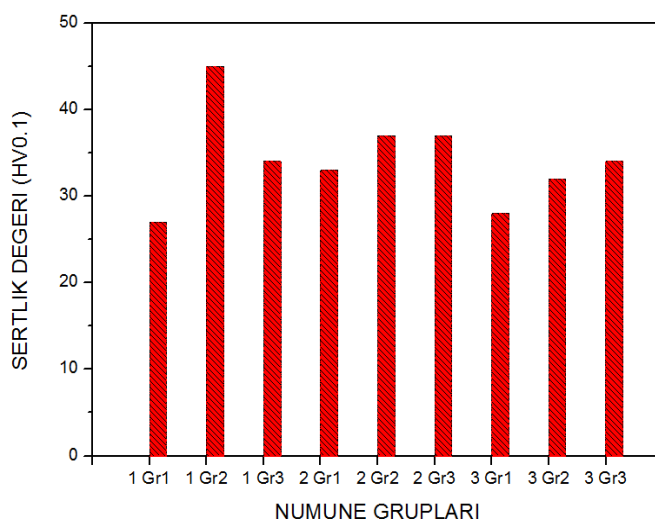
T/M yöntemi ile üretilmiş olan AlMg/KNT kompozit numunelerinin Mikroseretlik sonuçları Çizelge 3.2 'de verilmiştir

Çizelge 3.2. AlMg/KNT kompozit numunelerine ait HV Sertlik ölçüm değerleri

Numune Grupları	Sıcaklık °C	1	2	3	4	5	Ortalama
%2.5 KNT	1Grp1 350 °C	25	28	27	32	33	27
	1Grp2 400 °C	42	47	39	46	51	45
	1Grp3 450 °C	32	29	40	37	32	34
%5 KNT	2Grp1 350 °C	32	38	37	28	30	33
	2Grp2 400 °C	27	38	40	46	36	33
	2Grp3 450 °C	38	40	34	34	37	37
%10 KNT	3Grp1 350 °C	26	25	33	28	28	28
	3Grp2 400 °C	31	32	35	32	30	32
	3Grp3 450 °C	32	29	40	37	32	34

Burada takviye oranlarının ve sinterleme sıcaklıklarının sertlik değeri üzerine etkisi görülmektedir. Üretilen numunelere ait sertlik değerleri incelendiğinde özellikle 1.2 numaralı ve 2. Grup numunelerde sertlik değerlerinin arttığı fakat 3.grup numunelerde bu artışın devam etmediği görülmektedir. Bu değişimler sinterleme sonucunda oluşan TiC fazları kaynaklı olmaktadır. Fakat %5 ve özellikle %10 KNT oranlarında yapıda KNT odaklı aglomersayon meydana gelmektedir. Aglomeratlardan dolayı kompozitin sertlik değerlerinde artışı devam etmemektedir (Bolzoni ve ark., 2011).

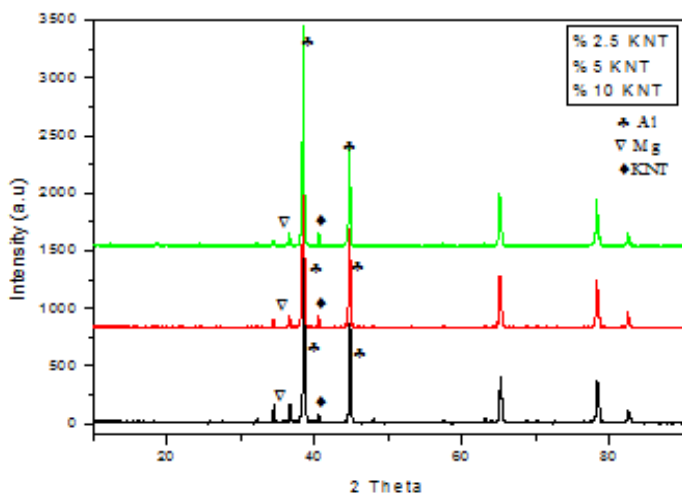
Vickers sertlik testleri, üç farklı sinterleme sıcaklığı ve üç farklı kompozisyon üzerinde gerçekleştirilen sertlik sonuçları Şekil 3.2'de gösterilmiştir.



Şekil 3.2. Farklı sıcaklıklarda sinterlenen numunelerin sertlik ölçümleri

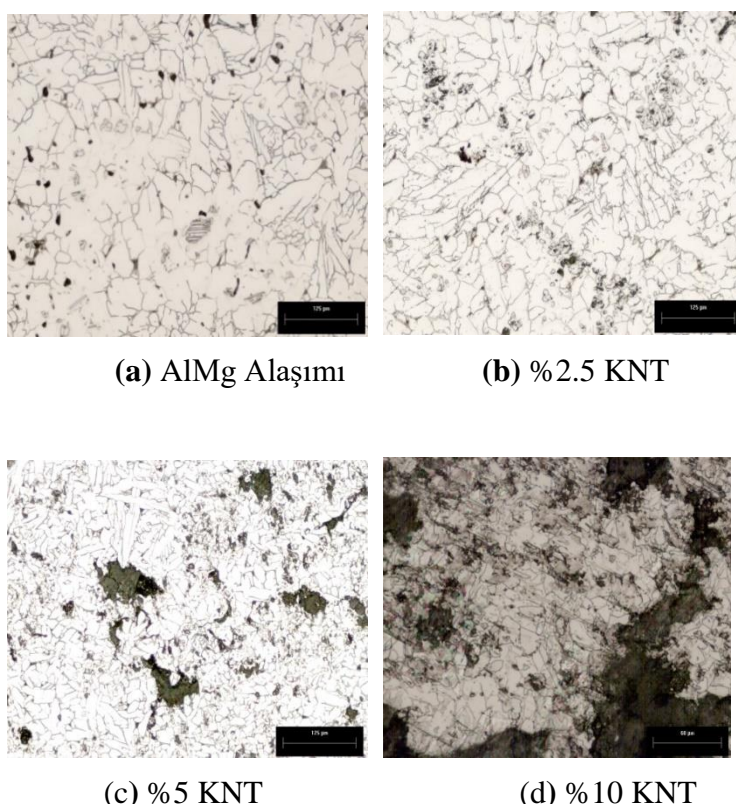
Farklı (%2.5 ,%5 ve %10) KNT oranları ile takviyeli AlMg/KNT kompozit toz numunelerinin yapılmış olan XRD analizleri Şekil 3.3'te gösterilmiştir.

Farklı oranlarda takviyeli MMC numunelere uygulana XRD analizlerinde KNT piki 42.6°'de literatür doğrultusunda ortaya çıkmıştır. Şekilde de görüleceği üzere artan KNT içeriği ile KNT'nin ana pik alanı ve şiddetinin arttığı görülmektedir.



Şekil 3.3. Farklı KNT oranları ile takviyeli AlMg/KNT kompozit numunelerinin XRD göstergesi

Mekanik olarak karıştırılmış kompozit tozları XRD sonuçları ile karıştırılan tozlara ait pik şiddetti ile karışımın oluştuğunu göstermektedir. Cai ve ark.(2012) KNT tozlarına ait pik şiddetlerinin AlMg'deki KNT'lerin homojen dağılımına bağlı olabileceğini öne sürmüştür. Üç farklı KNT oranı ve üç farklı sinterleme sıcaklığı ile üretilmiş olan kompozit numunelerin optik mikroskop görüntüleri Şekil 3.4'te gösterilmiştir.



Şekil 3.4. Farklı oranlarda üretilmiş AlMg/KNT kompozitlerinin mikroyapı gösterimi (a) AlMg合金, b)%2.5 AlMg/KNT合金, c)%5AlMg/KNT合金, d) AlMg/KNT合金)

KNT'ler matris alaşımında, farklı oranlarla takviye edilmiştir. Ortaya çıkan dispersiyon miktarı, takviyenin oranına bağlıdır. KNT takviyesinin oranı ne kadar düşükse, matriks alaşımında homojen dağılımın elde edilmesi ihtimali o kadar iyi olmuştur. Bunun nedeni, KNT'lerin geniş yüzey alanı, yüksek görünüş oranı, tek tek tüplerdeki güçlü van der waals kuvvetleri ve bunların nano boyutları ile tüp morfolojisi, hepsi de KNT'lerin kümelenmesi ve kümelenmesine büyük ölçüde katkıda bulunurlar (Munir ve ark., 2015).

4.Değerlendirme ve Sonuç

Bu çalışmada farklı KNT oranları ile takviye edilerek üretilmiş olan AlMg/KNT kompozit numunelerinin sertlik, yoğunluk ve metalografik özellikleri sıcaklık ve zamanın bir fonksiyonu olarak araştırılmıştır.

Mevcut çalışmanın sonuçları şu şekilde ifade edilebilir; mikroskopik resimler, KNT parçacıklarının matriste özellikle % 2,5 KNT içeriğine sahip numunelerde homojen bir şekilde dağılmış olduğunu ve belirli bir bölgede ayırmadığını göstermektedir. Fakat %5 ten sonra artan KNT oranlarına bağlı olarak yapıdaki KNT'lerin homojen dağılımları giderek bozulmuş ve belirli bölgelerde yoğunlar şeklinde yapıda kaldığı gözlemlenmiştir. Yapılmış olan yoğunluk ve sertlik ölçümleri de bunu net olarak desteklemektedir.

Bununla birlikte, artan KNT parçacıklarının numunelerde aglomerasyon sonucunda gözenekli yapıya dönüşmesi kompozitin yoğunluk değerini düşürmüştür. Uygulanmış olan sinterleme sıcaklıklarları bu numunelerin yoğunluk değerleri üzerine oldukça etkili olmuştur. Ancak %5 ten sonra artan KNT oranları oluşan yüksek miktardaki aglomerasyon sinterleme prosesin de belli bir noktaya kadar difüzyonla giderilebilmiş giderilemeyen kısımları ise porozite olarak yapıda kalmıştır.

Deneylerde 400° C sinterleme sıcaklığında daha yüksek ortalama sertlik değerleri elde edilmiştir. KNT ilavesiyle sertlik artış, nanotüpler ve matriks arasındaki etkileşim sonucunda meydana gelen kayma gerilemelerine geçiş olarak kabul edilir. Matriks içindeki dağınık nanotüpler, ince çökeltiler olarak hareket eder; bu nedenle, plastik deformasyon mekanizması kayma gerilmelerine dönüşür. Kayma gerilemeleri (dislokasyon hareketlerinin), KNT'ler tarafından (yüksek mukavemetleri nedeniyle) ara yüzler de sıkışır ve çöktürülür. Oluşan bu tür çapraz kaymalar, kompozitlerin sertliklerinin artmasına neden olabilir (Dieter, 1988). Rashad ve ark. (2013) ve Paramsothy ve ark.(2011), CNT ile takviye edilmiş Mg ve Al alaşımlarında benzer tip davranışlar bildirmiştir.

Bu nedenle, KNT'ler % 2.5KNT içeren kompozit toz içinde nispeten daha homojen dağılmışlardır (Şekil 3.4(b), büyük hacim oranı ve KNT'lerin aglomeratları (Şekil 3.4 (c) ve (d)'deki koyu alanlar ile görülmektedir). Bu durum daha önce ortaya yapılan açıklamayı da destekleyecek şekildedir. Takviye maddesinin daha yüksek hacimde matriks içindeki KNT'lerin dağıtılmasında yaşanan artan güçlüğe atfedilmiştir.

Bu çalışmada karbon nanotuplerin bu özelliği kullanılarak daha hafif ve mekanik olarak daha iyi bir malzeme üretimi ile bir faydaya dönüşmesi hedeflenmiştir.

Teşekkür

Bu çalışma Marmara Üniversitesi Bilimsel Araştırma Projeleri Birimi tarafından desteklenen (FEN-K-070317-0107) nolu araştırma projesi ile yapılmıştır.

Kaynakça

- Koczak, M ve Premkumar, M.K., 1989. High Performance Powder Metallurgy Aluminum Alloys an Overview. Philadelphia, 121.
- Agnew SR, Horton JA, Lillo TM, Brown DW., 2004, Enhanced ductility in strongly textured magnesium produced by equal channel angular processing. Journal of Scr Mater, 50:377.
- Bolzoni L., Esteban P., Ruiz-Navas E.M., Gordo E., 2011. Influence of Powder Characteristics on Sintering Behaviour and properties of PM Ti Alloys produced from Prealloyed Powder and Master alloy. Journal of Powder Metallurgy 54: 543-550.
- Cai W., Feng X., Sui J., 2012, Preparation of multi-walled carbon nanotube-reinforced TiNi matrix composites from elemental powders by spark plasma sintering, Journal of Rare Metals, 31, 48-50.
- Dieter G.E., 1988. Mechanical Metallurgy, McGraw-Hill, London, 376
- Elke H., 2007. Magnesium for Aerospace Applications. EADS Deutschland Innovation Works
- Fauchais P., Vardella M., Vardelle, A., Bianchi L., 1996. Journal of Ceramic International 22:295–303.
- Ferkel H., Mordike BL., 2001. Magnesium strengthened by SiC nanoparticals. Mater Journal of Science Engineering A 298:193-199.
- Ge M., K. Sattler., 1994. Bundles of carbon nanotubes generated by vaporphase growth. Journal of Applied Physics Letters 64 (6) : 710–711
- German, R.M., 2005. Powder Metallurgy and Particulate Materials Processing. Princeton, 221.
- Gülsoy H.Ö., Gülsoy N., Çalışıcı R., 2014. Particle Morphology Influence on Mechanical and Biocompatibility Properties of Injection Molded Ti Alloy Powder. Journal of Bio-medical Materials and Engineering. 24:1861-1873.
- Iijima S., 1991. Helical Microtubules of Graphitic Carbon. Journal of Nature 354: 56–58.

Kim WJ., An CW., Kim YS., Hong SI., 2002. Mechanical properties and microstructures of an AZ61 Mg Alloy produced by equal channel angular pressing. *Journal of Scr Mater* 47:39.

Kim WJ., Hong SI., Kim YS., Min SH., Jeong HT., Lee JD., 2003. Texture development and its effect on mechanical properties of an AZ61 Mg alloy fabricated by equal channel angular pressing. *Journal of Acta Mater* 51:3293.

Kwon H., Park D.H., Silvian J.F., Kawasaki A., 2010. Investigation of Carbon Nanotube Reinforced Aluminum Matrix Composite Materials. *Journal of Composite Science Technology* 70: 546–550.

Nikolaev P., Bronikowski M.J., Bradley R.K., Fohmund F., Colbert D.T., K.A. Smith K.A., 1999. *Journal of Chemical Physics Letters*, 313 (1-2): 91–97

Munir K.S., Li Y., Liang D., Qian M., Xu W., Wen C., 2015. Effect of dispersion method on the deterioration, interfacial interactions and re-agglomeration of carbon nanotubes in titanium metal matrix composites, *Journal of Materials & Design*, 88 138-148.

Paramsothy M., Gupta M., Chan J., Kwok J., 2011. Carbon Nanotube Addition to Simultaneously Enhance Strength and Ductility of Hybrid AZ31/AA5083 alloy. *Journal of Material Science and Applications* 2: 20-29

Rashad R.M., Awadallah O.M., 2013. Wifi Effect of MWCNTs Content on the Characteristics of A356 Nanocomposite. *Journal of Achievements in Materials and Manufacturing Engineering*. 58(2): 74-80

Ren Z.F., Huang, Z.P., Xu J.W., Wang D.Z., Wen J.G., Wang, J.H., 1999. Growth of a Single Freestanding Multiwall Carbon Nanotube on Each Nanonickel, *Journal of Applied Physics Letters*, 75 (8): 1086–1088

Pérez R., Estrada I., Amézaga P., Miki M., Herrera J.M., Martínez R., 2010. Microstructural Characterization of Al- MWCNT Composites Produced by Mechanical Milling and Hot Extrusion, *Journal of Alloys and Compounds* 495: 399–402.

Topcu I., Gulsoy H.Ö., Kadioglu N., Gulluoglu A.N., 2009. Processing and Mechanical properties of B₄C Reinforced Al Matrix Composites. *Journal of Alloys and Compounds* 482 (1-2): 516-521

- Treacy MMJ., Ebbesen TW., Gibson JM., 1996. Exceptionally High Young's Modulus Observed for Individual Carbon Nanotubes. *Journal of Nature*, 381:678–80
- Turan E., 2003. Bor -Karbür Silisyum- Karbür Kompozitlerinin Sıcak Presleme ile Elde Edilmesi, Yüksek Lisans Tezi, İstanbul Teknik Üniversitesi, Maslak, İstanbul, Türkiye.
- Yakobson B.I., Brabec C.J., Bernholc J., 1996. Nanomechanics of Carbon Tubes: Instabilities beyond Linear Response, *Journal of Physical Review Letters* 76 (14) : 2511–2514
- Yoshida Y, Cisar L, Kamado S, Kojima Y., 2003, Effect of Microstructural Factors on Tensile Properties of an ECAE-Processed AZ31 Magnesium Alloy. *Journal of Mater Transition* 44:468.
- Yoshida Y., Arai K., Itoh S., Kamado S., Kojima Y., 2005. Realization of high strength and high ductility for AZ61 magnesium alloy by severe warm working. *Journal of Science Technology Advance Mater* 6:185.